

УДК 539.376

О ПОЛЗУЧЕСТИ ПЛАСТИН ИЗ АЛЮМИНИЕВЫХ СПЛАВОВ ПРИ ИЗГИБЕ

И. А. Банщикова, Б. В. Горев, И. Ю. Цвелодуб

Институт гидродинамики им. М. А. Лаврентьева СО РАН, 630090 Новосибирск
E-mail: binna@ngs.ru

Приведены результаты экспериментов по ползучести алюминиевого сплава В95пчТ2. Построены определяющие уравнения установившейся ползучести, с использованием которых решена задача о чистом кручении квадратной пластины. Проведено сравнение расчетных и экспериментальных значений кривизны пластины.

Ключевые слова: алюминиевые сплавы, ползучесть, разнсопротивляемость растяжению и сжатию, кручение квадратной пластины.

Современные конструкционные сплавы обладают рядом деформационно-прочностных особенностей, таких как разнсопротивляемость растяжению и сжатию и анизотропия. Наиболее отчетливо эти особенности проявляются при повышенных температурах [1].

1. Экспериментальные данные. Определяющие уравнения. Для определения характеристик ползучести алюминиевого сплава В95пчТ2 при растяжении и сжатии и температуре $T = 180$ °С были изготовлены образцы из плит толщиной 40 и 50 мм, вырезанные в различных направлениях (продольном, поперечном, по нормали к плите). Эксперименты проводились при различных постоянных во времени напряжениях σ в диапазоне $270 \text{ МПа} \leq |\sigma| \leq 320 \text{ МПа}$. Экспериментальные данные на установившейся стадии ползучести обрабатывались с использованием степенной зависимости между скоростью деформаций η и напряжением σ :

$$\sigma > 0: \quad \eta = B_1 \sigma^{n_1}, \quad \sigma < 0: \quad \eta = B_2 |\sigma|^{n_2-1} \sigma. \quad (1)$$

Получены следующие значения констант:

— для плиты толщиной 50 мм $B_1 = 7,2 \cdot 10^{-31} \text{ МПа}^{-n_1} \cdot \text{с}^{-1}$, $B_2 = 2 \cdot 10^{-31} \text{ МПа}^{-n_2} \cdot \text{с}^{-1}$, $n_1 = n_2 = 10$;

— для плиты толщиной 40 мм $B_1 = 6 \cdot 10^{-55} \text{ МПа}^{-n_1} \cdot \text{с}^{-1}$, $n_1 = 20$, $B_2 = 2,43 \times 10^{-43} \text{ МПа}^{-n_2} \cdot \text{с}^{-1}$, $n_2 = 15$.

Следовательно, свойства ползучести одного и того же сплава существенно зависят от толщины плиты. Результаты экспериментов позволяют считать (по крайней мере, в первом приближении) материал В95пчТ2 при $T = 180$ °С изотропным, но с различными свойствами при растяжении и сжатии. Тогда аналогично [2] зависимость (1) можно обобщить на сложное напряженное состояние:

$$\eta_{kl} = \frac{\partial \Phi}{\partial \sigma_{kl}}, \quad 2\Phi(\sigma_i, \xi) = \Phi_1 + \Phi_2 + (\Phi_2 - \Phi_1) \sin 3\xi, \quad (2)$$

$$\Phi_1 = B_1 \sigma_i^{n_1+1} / (n_1 + 1), \quad \Phi_2 = B_2 \sigma_i^{n_2+1} / (n_2 + 1).$$

Здесь η_{kl} , σ_{kl} ($k, l = 1, 2, 3$) — компоненты тензоров скоростей деформаций ползучести и напряжений в выбранной системе координат $Ox_1x_2x_3$; Φ — потенциал ползучести; σ_i — интенсивность напряжений; ξ — угол вида напряженного состояния.

Величины σ_i и ξ определены в [2]. При плоском напряженном состоянии, как в рассматриваемом ниже случае изгиба пластин, имеем

$$\sigma_i^2 = \sigma_{11}^2 + \sigma_{22}^2 - \sigma_{11}\sigma_{22} + 3\sigma_{12}^2, \quad \sin 3\xi = (1/2)(I/\sigma_i)^3 - (3/2)(I/\sigma_i), \quad (3)$$

где $I = \sigma_{11} + \sigma_{22}$.

Из (2), (3) получим

$$\begin{aligned} 2\Phi(\sigma_{11}, \sigma_{22}, \sigma_{12}) &= \Phi_1(\sigma_i) + \Phi_2(\sigma_i) + [\Phi_2(\sigma_i) - \Phi_1(\sigma_i)](\zeta^3 - 3\zeta)/2, & \zeta &= I/\sigma_i, \\ \eta_{11} &= \Phi_3(2\sigma_{11} - \sigma_{22}) + \Phi_4(\sigma_{22}^2 - \sigma_{11}\sigma_{22} + 2\sigma_{12}^2), \\ \eta_{22} &= \Phi_3(2\sigma_{22} - \sigma_{11}) + \Phi_4(\sigma_{11}^2 - \sigma_{11}\sigma_{22} + 2\sigma_{12}^2), \\ \eta_{12} &= 3\Phi_3\sigma_{12} - \Phi_4(\sigma_{11} + \sigma_{22})\sigma_{12}, \\ \Phi_3 &= (B_1\sigma_i^{n_1-1} + B_2\sigma_i^{n_2-1})/4 + (B_2\sigma_i^{n_2-1} - B_1\sigma_i^{n_1-1})(\zeta^3 - 3\zeta)/8, \\ \Phi_4 &= \frac{9}{8} \left(\frac{B_2}{n_2+1} \sigma_i^{n_2-2} - \frac{B_1}{n_1+1} \sigma_i^{n_1-2} \right) (\zeta^2 - 1). \end{aligned} \quad (4)$$

Отметим, что при $n_1 \neq n_2$ потенциал Φ из (2), в отличие от общепринятых потенциалов, не является однородной функцией и зависит от второго и третьего инвариантов девиатора напряжений.

При определении мгновенных упругих характеристик исследуемого материала установлено, что при $T = 180$ °С сплав В95пчТ2 является изотропным с одинаковыми свойствами при растяжении и сжатии: модуль Юнга $E = 57$ ГПа, коэффициент Пуассона $\nu = 0,4$.

2. Кручение квадратной пластины. Рассмотрим изготовленную из сплава В95пчТ2 (плита толщиной 40 мм) квадратную пластину с размерами $12 \times 180 \times 180$ мм, которая находится в условиях чистого кручения при $T = 180$ °С под действием единичного крутящего момента M , эквивалентного изгибающим моментам разных знаков $M_1 = -M_2 = M$, равномерно распределенным вдоль краев пластины (рис. 1). В эксперименте такую схему нагружения можно реализовать путем приложения в углах пластины сосредоточенных сил $P = 2M$, как это показано на рис. 2 [3]. Темными и светлыми точками на рис. 2 показаны экспериментальные зависимости кривизны \varkappa от времени без учета начальной упругой составляющей $\varkappa_0 = \varkappa(0)$ при действии единичного крутящего момента $M = 4,843$ кН·м/м (данные двух экспериментов при одном и том же значении M). На рис. 3 показана пластина, отформованная в течение двух часов.

Для решения задачи о кручении пластины использовалась разработанная авторами данной работы программа “СгееPL”, предназначенная для расчета процесса формообразования панелей двойной кривизны в кинематической постановке в условиях, близких к условиям чистого изгиба. При этом полные деформации ε_{kl} представляют собой сумму упругих деформаций ε_{kl}^e и деформаций ползучести ε_{kl}^c :

$$\varepsilon_{kl}^e + \varepsilon_{kl}^c = -zw_{,kl}. \quad (5)$$

Здесь

$$\varepsilon_{kl}^e = \frac{1-\nu}{E} \sigma_{nn} \delta_{kl} + \frac{1+\nu}{E} \sigma_{kl}^0, \quad \sigma_{kl}^0 = \sigma_{kl} - \frac{1}{2} \sigma_{nn} \delta_{kl}, \quad \varepsilon_{kl}^c = \eta_{kl} \quad (k, l = 1, 2),$$

w — прогиб; σ_{kl}^0 и δ_{kl} — компоненты плоских девиатора напряжений и единичного тензора; индекс k после запятой означает производную по координате x_k ; по повторяющимся

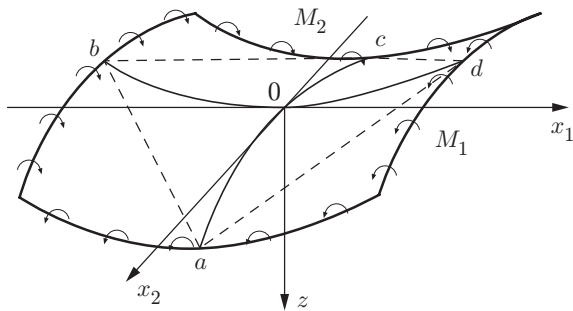


Рис. 1

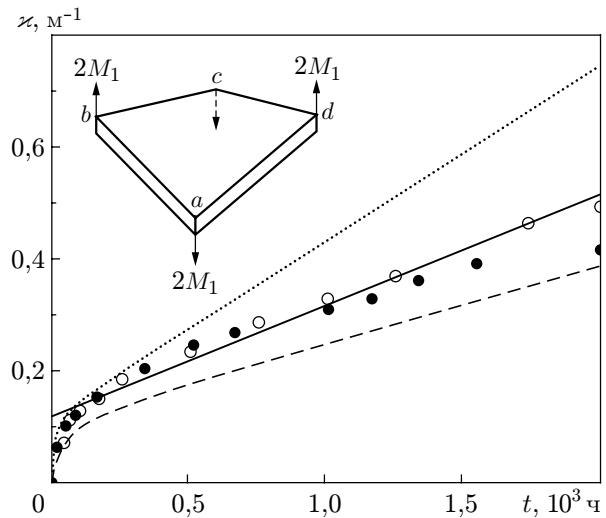


Рис. 2

Рис. 1. Схема нагружения пластины крутящим моментом M

Рис. 2. Экспериментальные (точки) и теоретические (линии) зависимости кривизны пластины от времени:

сплошная линия — расчет для кинематического режима формообразования ($A_1 = 0,95 \text{ м}^{-1}$, $A_2 = 0,5 \text{ м}^{-1}$); пунктирная — расчет, выполненный по характеристикам материала на растяжение ($n_1 = n_2 = 20$, $B_1 = B_2 = 6 \cdot 10^{-55} \text{ МПа}^{-20} \cdot \text{с}^{-1}$); штриховая линия — расчет, выполненный по характеристикам материала на сжатие ($n_1 = n_2 = 15$, $B_1 = B_2 = 2,43 \cdot 10^{-43} \text{ МПа}^{-15} \cdot \text{с}^{-1}$)

индексам проводится суммирование от 1 до 2. Скорости деформаций ползучести η_{kl} определяются согласно (4). Ось Oz перпендикулярна плоскости Ox_1x_2 , $|z| \leq h/2$ (h — толщина пластины).

При известной функции $w = w(x_1, x_2, t)$ продифференцированные по t соотношения (5) совместно с (4) в каждой точке пластины представляют собой систему обыкновенных дифференциальных уравнений по времени для нахождения компонент напряжений $\sigma_{kl} = \sigma_{kl}(x_1, x_2, z, t)$. Начальные условия $\sigma_{kl}|_{t=0}$ находятся из (5) при $\varepsilon_{kl}^c = 0$ ($k, l = 1, 2$). Указанная система решается методом Рунге — Кутты — Мерсона четвертого порядка с автоматическим выбором шага по времени.

В рассматриваемом случае кручения пластины для решения задачи в кинематической постановке прогиб задавался в виде $w = (A_1 + A_2 t/t_*)x_1x_2$, $-0,09 \text{ м} \leq x_k \leq 0,09 \text{ м}$ ($k = 1, 2$), $t_* = 2 \text{ ч}$.

На рис. 2 сплошная линия — кривизна, соответствующая режиму при $A_1 = 0,95 \text{ м}^{-1}$, $A_2 = 0,5 \text{ м}^{-1}$. Эта зависимость показана без учета начальной упругой составляющей $\varkappa_0 = 0,8333 \text{ м}^{-1}$, соответствующей экспериментальному моменту $M = 4,843 \text{ кН} \cdot \text{м/м}$. Значения A_1, A_2 выбраны таким образом, чтобы при $0 < t \leq t_*$ соответствующий крутящий момент (сплошная линия на рис. 4) был наиболее близок к значению $M = 4,843 \text{ кН} \cdot \text{м/м}$ (штриховая линия на рис. 4).

Пунктирная и штриховая линии на рис. 2 соответствуют аналогичным расчетам с использованием программы “ANSYS” в предположении, что материал является изотропным с одинаковыми свойствами на растяжение и сжатие; пунктирная линия соответствует расчету, выполненному только по характеристикам на растяжение; штриховая линия — расчету, выполненному только по характеристикам на сжатие. Эти зависимости дают

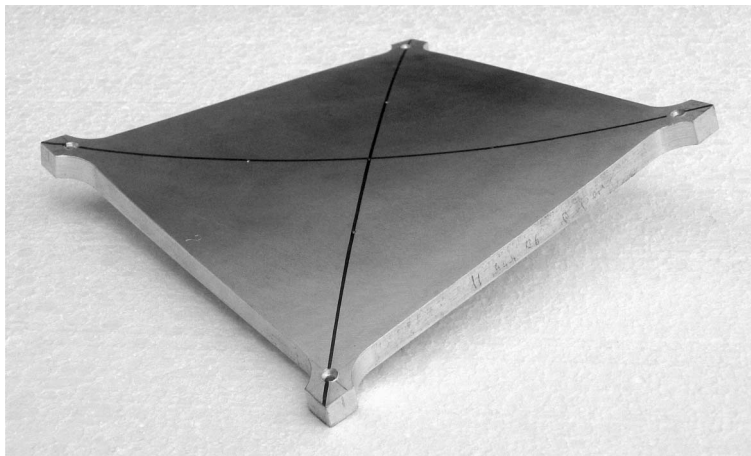


Рис. 3. Пластина, отформованная в течение двух часов

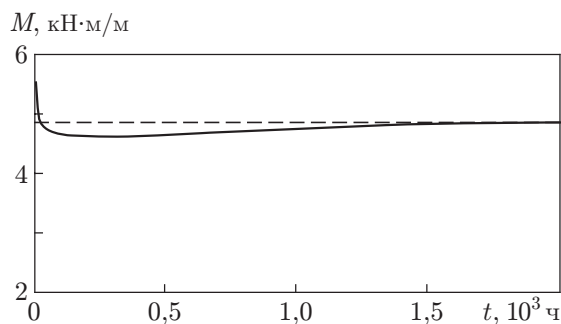


Рис. 4. Зависимость крутящего момента от времени:
штриховая линия — постоянный момент M ; сплошная — расчет для заданного кинематического режима, которому соответствует сплошная линия на рис. 2

верхнюю и нижнюю оценки для эксперимента и расчета, выполненного с использованием зависимостей (4), (5).

ЛИТЕРАТУРА

1. **Никитенко А. Ф.** Ползучесть и длительная прочность металлических материалов. Новосибирск: Изд-во Новосиб. гос. архит.-строит. ун-та, 1997.
2. **Цвелодуб И. Ю.** Постулат устойчивости и его приложения в теории ползучести металлических материалов. Новосибирск: Ин-т гидродинамики СО АН СССР, 1991.
3. **Тимошенко С. П.** Пластинки и оболочки / С. П. Тимошенко, С. Войновский-Кригер. М.: Физматгиз, 1963.

Поступила в редакцию 26/X 2006 г.